



3. 実験結果および考察

図-3は、一軸圧縮試験の結果であり、(a)一軸圧縮強度、(b)破壊時の軸ひずみ、(c)サクシオン、(d)破壊時の体積ひずみをそれぞれ示したものである。

一軸圧縮強度と飽和度の関係を示した(a)図より、飽和度が高いほど一軸圧縮強度も増大するが、最適含水比付近では逆に一軸圧縮強度は低下する傾向にあることがわかる。破壊時の軸ひずみと飽和度の関係を示した(b)図より、飽和度が高くなるほど破壊時の軸ひずみも増大している。サクシオンと飽和度の関係を示した(c)図より、飽和度が高いほどサクシオンは低いことがわかる。また、初期サクシオン(○)と破壊時のサクシオン(●)の差が大きいほど一軸圧縮強度が大きい傾向が見られる。破壊時の体積ひずみと飽和度の関係を示した(d)図より、飽和度が高くなるほど破壊時の体積ひずみは大きくなるが、最適含水比付近では逆に破壊時の体積ひずみは小さくなる傾向にある。この関係は、(a)図に示した一軸圧縮強度との関係と類似である。

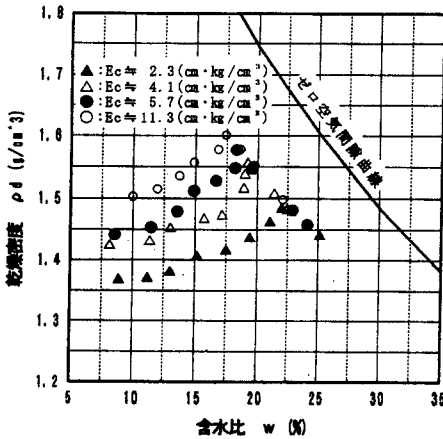


図-2 DLクレーの締固め試験結果

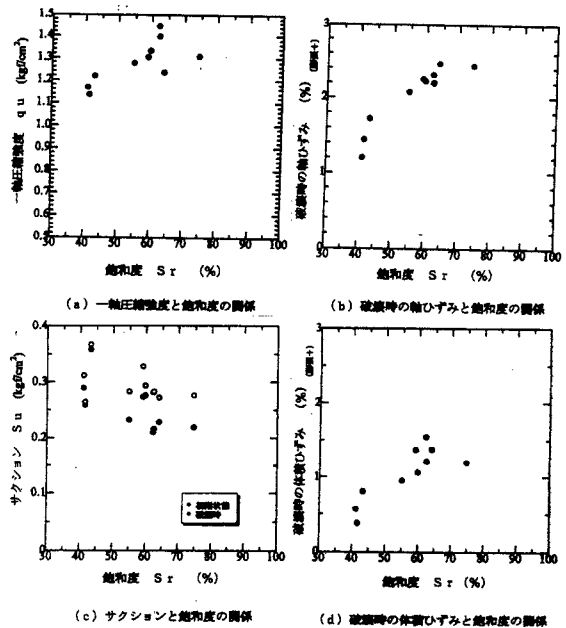


図-3 一軸圧縮試験の結果の一例

4. おわりに

本研究では、サクシオンおよび体積変化を簡単に測定することができる一軸圧縮試験機を用いて、締固めた不飽和土の一軸圧縮試験を行い、主として強度、サクシオン、体積変化に及ぼす飽和度の影響を検討した。本研究で用いた一軸圧縮試験機は取り扱いも比較的容易であるので、今後は他の試料も含めて、より多くのデータを蓄積していこうと考えている。

参考文献

- 1) 不飽和地盤の安定性に関する研究委員会：不飽和地盤の調査・設計・施工に関する諸問題シンポジウム発表論文集，土質工学会，1993.1.